

SINTEZA PROCESOARELOR SPECIALIZATE ÎN BAZA REȚELELOR PETRI HARDWARE FUNCȚIONAL INTERPRETATE

V. Sudacevschi, dr., conf.univ., V. Ababii, dr., conf.univ., E. Guțuleac, prof.univ., dr.hab.,
M. Podubnii, drd.

Universitatea Tehnică a Moldovei

INTRODUCERE

Dezvoltarea sistemelor numerice complexe practic nu mai este posibilă fără utilizarea sistemelor de proiectare automată. În prezent majoritatea sistemelor numerice sunt implementate în baza circuitelor *VLSI* (Very Large Scale Integration), respectiv, cerințele impuse față de sistemele de proiectare automată au crescut semnificativ, în special față de proprietățile calitative ale sistemelor numerice (performanță, fiabilitate, convergență, etc.). Aceste proprietăți pot fi asigurate prin includerea a noi metode de verificare funcțională, testare, validare, etc. [1].

Proiectarea cu dispozitive programabile *FPGA* (Field-Programmable Gate Array) prezintă un interes deosebit pentru dezvoltarea sistemelor numerice complexe de performanță. Utilizarea circuitelor *FPGA* asigură atât o flexibilitate sporită cât și o performanță înaltă în procesul de implementare a sistemelor. Circuitele *FPGA* constau dintr-o rețea bidimensională de celule logice programabile, interconectate prin comutatoare de rutare, la fel programabile. Domeniile de utilizare a circuitelor *FPGA* sunt foarte vaste datorită reducerii semnificative a ciclului de proiectare și costului relativ redus a acestor dispozitive [2, 3].

Până nu demult, suportul formal pentru sinteza și modelarea sistemelor digitale era teoria automatelor finite, aplicată în studiul circuitelor logice. Evoluția rapidă a sistemelor digitale a dus la apariția unor noi tehnici formale folosite pentru specificarea și descrierea proceselor, caracteristicile cărora sunt paralelismul, distribuția fizică și logică, non-determinismul etc. În prezent descrierea și modelarea sistemelor complexe este realizată prin intermediul mai multor formalisme matematice, cum ar fi grafurile fluxului de date (*GFD*) și rețelele Petri (*RP*).

Grafurile fluxului de date sunt utilizate la modelarea sistemelor dominate de date, cum ar fi sistemele transformaționale, ieșirile cărora sunt determinate de un set de calcule efectuate asupra intrărilor sistemului. *GFD* constau dintr-un set de

activități (transformări) conectate printr-un set de arce care reprezintă fluxul de date.

Pentru reprezentarea sistemelor complexe au fost propuse mai multe modele *GFD*. Rețelele fluxurilor de date descrise în [4] se utilizează la modelarea sistemelor de procesare a semnalelor. Două cazuri particulare a rețelelor fluxurilor de date, și anume fluxurile de date sincrone și fluxurile de date statico-ciclice sunt descrise în [5].

Dezavantajul modelelor *GFD* constă în faptul că ele nu conțin nici o informație referitoare la metodele sau tehnologiile de implementare sau mapare directă. Din aceste motive, aceste modele sunt utilizate doar în timpul fazei de specificare a sistemelor complexe.

O metodă clasică de verificare funcțională și validare a sistemelor numerice complexe este formalismul rețelelor Petri [6]. Rețelele Petri au fost definite pentru descrierea sistemelor distribuite în care au loc fenomene de paralelism, sincronizare și de partajare a resurselor. O rețea Petri reprezintă un caz particular de graf orientat bipartit și constă din trei tipuri de obiecte. Aceste obiecte sunt pozițiile, tranzițiile și arcele orientate care conectează pozițiile și tranzițiile. Arcele sunt etichetate cu ponderile lor care reprezintă valori întregi pozitive. Pentru a studia comportamentul dinamic al sistemului modelat, și anume stările acestuia și modificările lor, se utilizează marcajul rețelei. Un marcaj sau o stare atribuie fiecărei poziții un număr întreg mai mare sau egal cu zero. Marcajul rețelei se poate schimba în conformitate cu regulile de validare și declanșare a tranzițiilor.

Eficiența rețelelor Petri în modelarea și maparea directă a sistemelor numerice este demonstrată în lucrările [7, 8, 9], unde sunt descrise metode și tehnici de mapare directă a sistemelor de control și sincronizare fără implicarea fluxurilor de date specifice sistemelor de calcul complexe (procesoare, controlere, etc.).

În lucrarea de față se propune o nouă metodă de descriere formală a rețelelor Petri, și anume rețele Petri funcțional interpretate care asigură modelarea sistemelor de sincronizare și a fluxurilor de date, asigurând posibilitatea de mapare directă a acestora în arhitecturi reconfigurabile formate din

circuite *FPGA*. Această abordare permite excluderea mai multor dezavantaje a metodelor de sinteză descrise în lucrările [4, 5, 7, 8, 9] în care lipsește descrierea și modelarea fluxurilor de date.

1. REȚELE PETRI FUNCȚIONAL INTERPRETATE

O rețea Petri funcțional interpretată (*RPFI*) este formată din două componente de bază: rețeaua Petri discretă (*RPD*) pentru modelarea procesului de sincronizare și rețeaua Petri flux de date (*RPF*) pentru modelarea fluxului de date și a operațiilor de transformare a datelor (operații aritmetice sau logice).

RPD este un 4-tuplu (P^D, T^D, F^D, M_0^D) [6, 7], unde:

- $P^D = \{p_i^D, \forall i = \overline{1, N^D}\}$ este o mulțime finită și nevidă de poziții discrete;
- $T^D = \{t_j^D, \forall j = \overline{1, L^D}\}$ este o mulțime finită și nevidă de tranziții discrete;
- $F^D \subseteq (P^D \times T^D) \cup (T^D \times P^D)$ este o mulțime de arce de conectare a pozițiilor discrete cu tranzițiile discrete și a tranzițiilor discrete cu pozițiile discrete;
- M_0^D este marcajul inițial.

Comportamentul dinamic al *RPD* este definit de regulile de declanșare a tranzițiilor și marcajul pozițiilor [6].

RPF este un 3-tuplu (P^F, T^F, F^F) , unde:

- $P^F = \{p_i^F, \forall i = \overline{1, N^F}\}$ este o mulțime finită de poziții flux de date;
- $T^F = \{t_j^F, \forall j = \overline{1, L^F}\}$ este o mulțime finită de tranziții flux de date;
- $F^F \subseteq (P^F \times T^F) \cup (T^F \times P^F)$ este o mulțime de arce de conectare a pozițiilor flux de date cu tranzițiile flux de date și a tranzițiilor flux de date cu pozițiile flux de date.

Comportamentul dinamic al *RPF* este definit de regulile de procesare a datelor și interacțiunea arcelor (semnalelor) de sincronizare F^{DF} și stare F^{FD} , unde:

- $F^{DF} \subseteq (P^D \times T^F)$ este o mulțime de arce de sincronizare de conectare a pozițiilor discrete cu tranzițiile flux de date;
- $F^{FD} \subseteq (T^F \times P^D)$ este o mulțime de arce de stare de conectare a tranzițiilor flux de date cu pozițiile discrete.

Regulile de validare ale tranzițiilor flux de date sunt definite de starea atributelor arcelor de sincronizare F^{DF} , regulile de funcționare a elementelor funcțional interpretate (registru, contor, sumator, etc.) și formulele descriptive ale acestora [10].

2. DESCRIEREA FORMALĂ A MODELELOR DE REȚELE PETRI FUNCȚIONAL INTERPRETATE

Descrierea formală a unei rețele Petri funcțional interpretată este efectuată în limbajul *XML* (*Extensible Markup Language*). Regulile de formatare a obiectelor sunt descrise în detaliu în lucrarea [10].

O rețea Petri funcțional interpretată este compusă din trei componente de bază:

- rețeaua Petri discretă;
- elementele funcționale;
- rețeaua Petri funcțional interpretată.

a) Descrierea rețelei Petri discrete.

Formalismul de descriere a modelului rețelei Petri discrete include următoarele obiecte de bază: *TclsNode*, *TclsTrans*, *TclsLink* și *TclsText* care, în dependentă de proprietățile caracteristice, se divizează în mai multe clase [10].

În continuare sunt prezentate modelele *XML* pentru obiectele menționate.

- Modelul *XML* al obiectului *TclsNodeDiscrete* de descriere a poziției discrete:

```
<object class="TclsNodeDiscrete" name="p1"
left="95" top="185" width="30" height="30"
group="" name="p1" size="osNormal"
capacity="9999" markers="1">
</object>
```

unde: *name="p1"* este numele poziției în lista de identificare.

- Modelul *XML* al obiectului *TclsTransInstant* de descriere a tranziției discrete netemporizate:

```
<object class="TclsTransInstant" name="t1"
left="95" top="267.5" width="30" height="5"
group="" size="osNormal" angle="0">
```

```
<guard formula="RefV" Value_Reference="1"
Value_Actual="1" />
<priority formula="RefV" Value_Reference="1"
Value_Actual="1" />
<speed formula="RefV" Value_Reference="100"
Value_Actual="100" />
</object>
```

unde: **name="t1"** este numele tranziției în lista de identificare.

- Modelul XML al obiectului **TclsLinkNormal** de descriere a arcelor de incrementare, decrementare și stare a poziției:

```
<object class="TclsLinkNormal" name="L1"
left="110" top="240.5" width="0" height="26.5"
group="" name="L1" src="p1" dst="t1">
<weight formula="RefV" Value_Reference="1"
Value_Actual="1" />
<point x="110" y="214" big="1" />
<point x="110" y="240.5" big="0" />
<point x="110" y="267" big="1" />
</object>
```

unde: **name="L1"** este numele arcului în lista de identificare, **src="p1"** este numele obiectului de început al arcului, și **dst="t1"** este numele obiectului de sfârșit al arcului. În cazul dat este un arc de stare și decrementare care pornește din poziția **p1** spre tranziția **t1**.

- Modelul XML al obiectului **TclsLinkInhibitor** de descriere a arcelor de inhibiție:

```
<object class="TclsLinkInhibitor" name="L5"
left="125" top="224" width="27.5"
height="91.5" group="" name="L5" src="p1"
dst="t4">
</object>
```

unde: **name="L5"** este numele arcului inhibitor în lista de identificare, **src="p1"** este numele obiectului de început al arcului și **dst="t4"** este numele obiectului de sfârșit al arcului.

- Modelul XML al obiectului **TclsLinkTest** de descriere a arcelor de test:

```
<object class="TclsLinkTest" name="L13"
left="291" top="161" width="3.5"
height="82.5" group="" name="L13" src="p4"
dst="t1">
</object>
```

unde: **name="L13"** este numele arcului test în lista de identificare, **src="p4"** este numele obiectului de început al arcului și **dst="t1"** este numele obiectului de sfârșit al arcului.

b) Declararea elementelor funcționale.

Declararea elementelor funcționale este efectuată în obiectul **Frame** care include: numele, magistralele și semnalele de intrare, precum și magistralele și semnalele de ieșire.

- Modelul XML al obiectului **TclsFrame**:

```
<object class="TclsFrame" name="Frame1"
left="40" top="15" width="401" height="86"
group="" text="Descrierea Elementelor
Functionale" penstyle="0"> <font name="Arial"
size="10" color="000000" style="0" />
</object>
```

unde: **name="Frame1"** este numele obiectului în lista de identificare, **text="Descrierea Elementelor Functionale"** este textul de descriere a obiectului.

- Modelul XML al obiectului **TclsText** de descriere a elementelor funcționale:

* definierea unui registru cu numele **Rg**:

```
<object class="TclsText" name="Text1"
left="47,5" top="22" width="307" height="16"
group="" text="Rg:{Range[8], In:(Data[8], L, CS,
OE), Out:(Data[8])};"> <font name="Arial"
size="10" color="000000" style="0" />
</object>
```

unde: **name="Text1"** este numele obiectului în lista de identificare, **text="Rg:{Range[8], In:(Data[8], L, CS, OE), Out:(Data[8])};"** este textul de descriere a obiectului **Rg**. **Range[8]** – numărul de ranguri (8), **In:(Data[8], L, CS, OE)** – magistrala de date și semnalele de intrare, **Out:(Data[8])** – magistrala de date și semnalele de ieșire.

* definierea unui numărător cu numele **Ct**:

```
<object class="TclsText" name="Text2"
left="47,5" top="42" width="304" height="16"
group="" text="Ct:{Range[8], In:(Data[8], L, CS,
OE), Out:(Data[8])};"> <font name="Arial"
size="10" color="000000" style="0" />
</object>
```

unde: **Range[8]** – numărul de ranguri (8), **In:(Data[8], L, CS, OE)** – magistrala de date și semnalele de intrare, **Out:(Data[8])** – magistrala de date și semnalele de ieșire.

* definierea unui sumator cu numele **SM**:

```
<object class="TclsText" name="Text3"
left="47,5" top="62" width="310" height="16"
group="" text="SM:{Range[8], In:(Data1[8],
Data2[8]), Out:(Data[8])};"> <font name="Arial"
size="10" color="000000" style="0" />
</object>
```

unde: **Range[8]** – numărul de ranguri (8), **In:(Data1[8], Data2[8])** – magistrale de date de intrare, **Out:(Data[8])** – magistrala de date de ieșire.

* definierea unei unități logice aritmetice (**ALU**):

```
<object class="TclsText" name="Text4"
left="47,5" top="82" width="389" height="16"
group="" text="ALU:{Range[8], In:(Data1[8],
Data2[8], Cop[4]), Out:(Data[8], Owr)};"> <font
name="Arial" size="10" color="000000" style="0" />
</object>
```

unde: $Range[8]$ – numărul de ranguri (8), $In:(Data1[8], Data2[8], Cop[4])$, – magistrale de date de intrare și magistrala pentru codul operației, $Out:(Data[8], Owr)$ – magistrala de date și semnale de ieșire.

c) Descrierea rețelei Petri funcțional interpretată.

• Modelul XML de descriere a unui registru **Reg1** de tip **Rg**:

```
<object class="TclsText" name="b1" left="295"
top="235" width="54" height="16" group=""
text="Reg1(Rg)"> <font name="Arial" size="10"
color="000000" style="0" />
</object>
```

• Modelul XML al obiectului **TclsNodeDataFlow** de descriere a poziției funcțional interpretate flux de date:

```
<object class="TclsNodeDataFlow" name="b1"
left="275" top="205" width="30" height="30"
group="" name="b1" size="osNormal"
boundmin="0" boundmax="9999" level="8">
<cost formula="RefV" Value_Reference="1"
Value_Actual="1" />
</object>
```

unde: **name="b1"** este numele obiectului în lista de identificare.

Legătura dintre obiectul de descriere a registrului **class="TclsText"** și obiectul de descriere funcțională flux de date **class="TclsNodeDataFlow"** este efectuată prin numele comun **"b1"**.

• Modelul XML al obiectului **TclsTransDataFlow** de descriere a tranziției funcțional interpretate flux de date:

```
<object class="TclsTransDataFlow" name="u1"
left="275" top="285" width="30" height="10"
group="" size="osNormal" angle="0">
<guard formula="RefV" Value_Reference="1"
Value_Actual="1" />
<priority formula="RefV" Value_Reference="1"
Value_Actual="1" />
<expectance formula="RefV"
Value_Reference="1" Value_Actual="1" />
<dispersion formula="RefV" Value_Reference="1"
Value_Actual="1" />
</object>
```

unde: **name="u1"** este numele obiectului în lista de identificare.

• Modelul XML al obiectului **TclsLinkDataFlow** de descriere a arcelor flux de date:

```
<object class="TclsLinkDataFlow" name="L7"
left="290" top="259,5" width="0" height="25,5"
group="" name="L7" src="b1" dst="u1">
<weight formula="RefV" Value_Reference="1"
```

```
Value_Actual="1" />
```

```
<point x="290" y="234" big="1" />
```

```
<point x="290" y="259,5" big="0" />
```

```
<point x="290" y="285" big="1" />
```

```
</object>
```

unde: **name="L7"** este numele obiectului în lista de identificare, **src="b1"** este începutul arcului flux de date din poziția **"b1"** și **dst="u1"** sfârșitul arcului în tranziția **"u1"**.

3. REȚELE PETRI HARDWARE FUNCȚIONAL INTERPRETATE

O rețea Petri Hardware funcțional interpretată (**RPHFI**) prezintă o mulțime de elemente de procesare concurentă a datelor formată din:

- elemente de procesare hardware $P^{HD} \equiv P^D$ poziții discrete [7, 8];

- elemente de procesare hardware $T^{HD} \equiv T^D$ tranziții discrete netemporizate [7, 8];

- conexiuni $C^+ \equiv (T^D \times P^D)$ de incrementare a numărului de jetoane în elementul de procesare poziție;

- conexiuni $C^- \equiv (P^D \times T^D)$ de decrementare a numărului de jetoane în elementul de procesare poziție;

- conexiuni $C^S \equiv (P^D \times T^D)$ de stare care determină condiția de validare a elementelor de procesare tranziție;

- conexiuni $C^T \equiv (P^D \times T^D)$ de test care determină condiția de validare a elementelor de procesare tranziție;

- conexiuni $C^I \equiv (P^D \times T^D)$ de inhibiție care determină condiția de validare a elementului de procesare tranziție în cazul absenței jetoanelor în poziție;

- elemente de procesare hardware $P^{HF} \equiv P^F$ care reprezintă poziții funcțional interpretate flux de date de tipul registrelor, numărătoarelor, sumatoarelor, ALU, etc.;

- elemente de procesare hardware $T^{HF} \equiv T^F$ care reprezintă tranziții funcțional interpretate flux de date pentru validarea fluxului de date dintre registre, numărătoare, sumatoare, ALU, etc.;

- magistrale de date $B^{HF} \equiv (P^F \times T^F) \cup (T^F \times P^F)$ dintre pozițiile

\mathbf{P}^{HF} și tranzițiile \mathbf{T}^{HF} , și tranzițiile \mathbf{T}^{HF} și poziții \mathbf{P}^{HF} ;

- conexiuni de sincronizare $\mathbf{C}^{DF} \equiv (\mathbf{P}^D \times \mathbf{T}^F)$ a tranzițiilor \mathbf{T}^{HF} ;

- conexiuni de stare $\mathbf{C}^{FD} \equiv (\mathbf{T}^F \times \mathbf{P}^D)$ a pozițiilor \mathbf{P}^{HF} .

4. ALGORITMUL DE SINTEZĂ A PROCESOARELOR SPECIALIZATE ÎN BAZA RPHFI

Algoritmul de sinteză a procesoarelor specializate în baza Rețelelor Petri Hardware Funcțional Interpretate (*RPHFI*) sunt prezentate în diagrama bloc din Figura 1.

Inițial are loc descrierea modelului de rețea Petri [10] cu elemente funcțional interpretate prin intermediul produsului program *VPNP* (*Visual Petri Net* +). Astfel sunt efectuate următoarele operații:

- introducerea modelului rețelei Petri pentru sincronizare (*RPS*);
- definirea elementelor funcționale (*DEF*);
- introducerea modelului rețelei Petri pentru descrierea elementelor funcționale (*RPHFI*);

Pentru efectuarea mai eficientă a acestor operații se utilizează baza de date cu modele de rețele Petri funcțional interpretate (*MRPFI*).

După procesarea datelor introduse se obține codul *XML* al modelului de rețea Petri funcțional interpretată.

Etapă *CRPH* reprezintă compilarea modelului de rețea Petri funcțional interpretată în cod *HDL* (Hardware Description Language). În acest scop se îndeplinesc următoarele operații:

- identificarea modelului de rețea Petri care îndeplinește funcții de sincronizare (*IRPS*);
- identificarea elementelor funcțional interpretate (*IEFI*);
- identificarea modelului de rețea Petri care modelează fluxul de date (*IRPHFI*);
- compilarea în cod *HDL* a obiectelor identificate din modelul de rețea Petri funcțional interpretate (*CHDL*);

Pentru etapa de compilare se utilizează bazele de date care conțin elemente funcțional interpretate (*EFI*) și modele de rețele Petri hardware funcțional interpretate (*RPHFI*).

Fișierul rezultat *HDL* este procesat în mediul de proiectare *Quartus II* [2].

Verificarea și testarea funcțională a codului de configurare generat pentru rețeaua Petri hardware funcțional interpretată este efectuată pe kit-ul de dezvoltare *Altera DE0* [11].

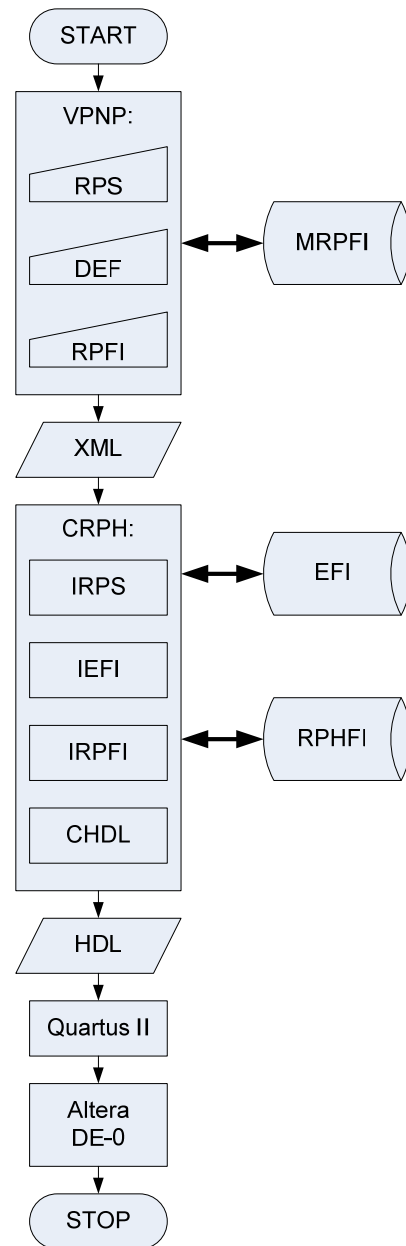


Figura 1. Algoritmul de sinteză a procesoarelor specializate în baza RPHFI.

5. EXEMPLU DE SINTEZĂ ÎN BAZA RPHFI

Sinteza procesorului specializat în baza modelelor *RPHFI* se bazează pe utilizarea următoarelor componente:

- elemente de procesare P^{HD} și T^{HD} pentru realizarea blocului de sincronizare;
- elemente funcționale P^{HF} pentru memorarea datelor (registre, numărătoare) și pentru efectuarea operațiilor aritmetico-logice (sumatoare, *ALU*).

În Figura 2 este prezentată structura unui procesor specializat, unde: *B_Syn* - blocul de sincronizare; *EF* - elemente funcționale (regiștrii *Rg1*, *Rg2* și *Rg3*) și un sumator (*Summ*); 1, 2 și 3 – semnale de sincronizare C^{DF} generate de blocul de sincronizare *B_Syn*; 4, 5 și 6 – magistrale de date B^F .

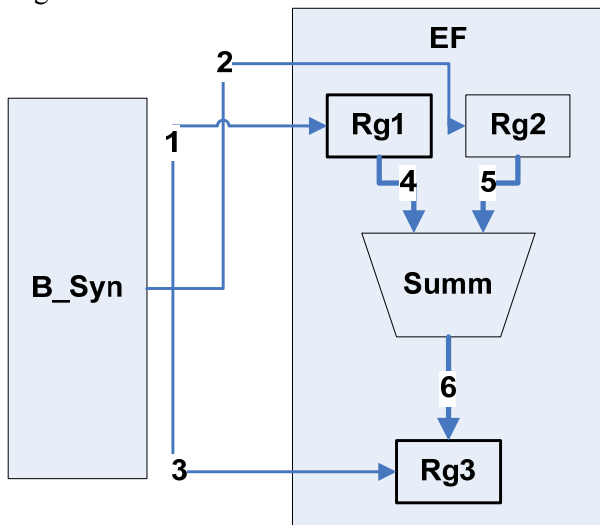


Figura 2. Structura procesorului specializat.

În Figura 3 este prezentat modelul de rețea Petri funcțional interpretată pentru sinteza procesorului specializat.

Procesorul specializat include următoarele elemente funcționale:

- un registru *Rg* pe 8 ranguri, cu magistrala de date de intrare și ieșire pe 8 ranguri;
- semnale de sincronizare (*CLK* – încărcare paralelă, *CLR* - resetare, *PRN* – setare);
- un sumator *SM* pe 8 ranguri, cu două magistrale de date de intrare și una de ieșire pe 8 ranguri, un semnal de transport de intrare *CIN* din rangurile inferioare, un semnal de transport de ieșire *COUT* în rangurile superioare.

Descrierea elementelor funcționale poate include registre, numărătoare, sumatoare, unități aritmetico-logice, etc.

- *Rețeaua pentru Sincronizare* care include: trei poziții (*p1*, *p2*, *p3*) și trei tranziții (*t1*, *t2*, *t3*). Prezența marcherului în poziția respectivă determină generarea semnalelor de sincronizare.

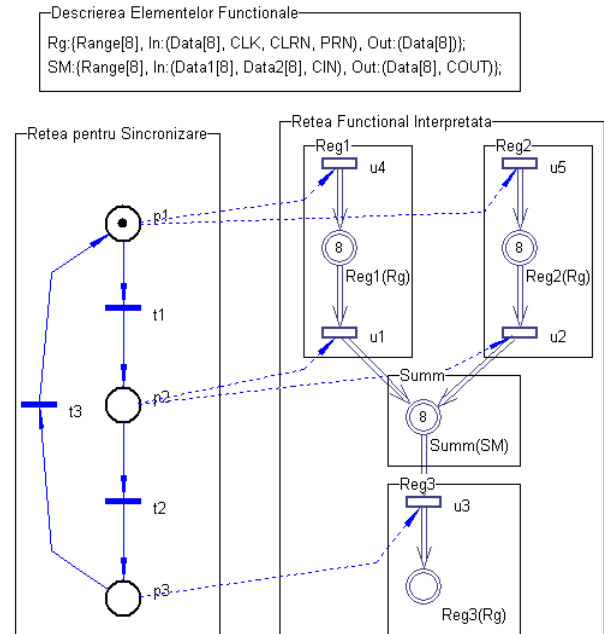


Figura 3. Exemplu *RPF* pentru sinteza procesorului specializat.

- *Rețeaua Funcțional Interpretată* care include: trei registre (*Reg1*, *Reg2*, *Reg3*) și un sumator (*Summ*).

Rezultatele prezentate în această lucrare au fost obținute în cadrul proiectului 15.817.02.28A „Modele, metode și interfețe pentru conducerea și optimizarea sistemelor de fabricație inteligente”.

6. CONCLUZII

În lucrare a fost abordată problema proiectării procesoarelor specializate în baza modelelor de rețele Petri. Pentru aceasta a fost propusă o extindere a rețelelor Petri, și anume rețele Petri funcțional interpretate (*RPFI*) care permit modelarea fluxurilor de date și a elementelor funcționale specifice procesoarelor specializate prezente în sistemele de fabricație inteligente. Pentru maparea directă în circuite *FPGA* a fost elaborată rețeaua Petri Hardware funcțional interpretată (*RPHFI*). Procesul de sinteză a procesoarelor specializate include următoarele etape: descrierea modelului *RPFI* prin intermediul produsului program *VPNP*, generarea obiectelor *XML* necesare pentru modelare, obținerea modelului *RPHFI* al procesorului specializat și generarea codului *HDL* pentru acest model,

verificarea și testarea funcțională a codului de configurare pe kit-ul de dezvoltare **Altera DE0**.

Rezultatele științifice obținute în această lucrare vor fi utilizate în continuare pentru proiectarea și implementarea procesoarelor specializate cu aplicarea în sisteme multi-agent [12, 14, 15], sisteme multi-robot [13, 16] și în rețele de senzori [17] care fac parte din procese de fabricație inteligente.

Bibliografie

- 1. Baruch Z.F.** Contribuții la proiectarea asistată, Teză de doctorat, Cluj-Napoca, 1999, 247p.
- 2.** <https://www.altera.com> (Accesat 15.08.2015).
- 3.** <https://www.xilinx.com> (Accesat 17.08.2015).
- 4. Lee E. A., Parks T.** Dataflow Process Networks. In: *Proceedings of IEEE, May 1995, vol. 83, p. 773-799.*
- 5. Parks T., Pino J. L., Lee E. A.** A Comparison of Synchronous and Cyclo-Static Dataflow, In: *Proceedings of the 29th Asilomar Conference on Signals, Systems and Computers, 1995, p. 204-210.*
- 6. Peterson J.L.** Petri Net Theory and the Modeling of Systems, Prentice-Hall, 1981.
- 7. Sudacevschi V.** Sinteza structurilor de procesare concurentă a datelor, Teză de doctor în tehnică, UTM, Chișinău, 2009, 165 p.
- 8. Sudacevschi V., Ababii V.** Modelling and Synthesis of Real-Time Control Systems Based on Hardware Timed Petri Nets. *Buletinul Institutului Politehnic Din Iași, Publicat de Universitatea Tehnică „Gheorghe Asachi” din Iași, Secția „Electrotehnică. Energetică. Electronică”, Tomul LIX (LXIII), Fasc. 4, 2013, pp. 161-172.*
- 9. Ababii V., Sudacevschi V., Podubnii M., Cojuhari I.** Real-time reconfiguration of distributed control system based on hard Petri nets. *International Conference on development and application systems 12th Edition, May 15-17, 2014, Suceava, Romania, pp. 21-24, ISSN 1844-5039. DOI: 10.1109/DAAS.2014.6842421.*
- 10. Guțuleac E., Boșneaga C., Railean A.** VPNP-Software tool for modeling and performance evaluation using generalized stochastic Petri nets. *Proceedings of the 6-th International Conference on DAS-2002, 23-25 May 2002, Suceava, România, p. 243-248, ISBN 973-98670-9-X.*
- 11.** <http://www.terasic.com.tw> (Accesat 11.08.2015).
- 12. Ababii V., Sudacevschi V., Podubnii M., Negară E.** Mnogoagentnaya assotziativnaya vychislitel'naya sistema // *Molodoj uchennyj. 2015. №16 (96). S. 30-36. ISSN: 2072-0297 (Print). ISSN: 2077-8295 (Online).*
- 13. Ababii V., Sudacevschi V., Cojuhari I., Podubnii M., Negară E.** Upravlenie dvizheniem avtonomnogo mobil'nogo robota v odnositel'noi sisteme koordinat gravitatzionnogo i magnitnogo polea Zemli // *Molodoj uchennyj. 2015. №17 (97). S. 69-74. ISSN: 2072-0297 (Print). ISSN: 2077-8295 (Online).*
- 14. Podubnii M., Ababii V., Sudacevschi V., Safonov G.** Mnogoagentnaya sistema na baze NI LabVIEW. Mezhdunarodnyj simpozium „Kompyuternye izmeritel'nye tehnologii - 2015, Moskva, 3.04.2015., pp. 23-25, ISBN 978-5-97060-324-6.
- 15. Ababii V., Sudacevschi V., Podubnii M., Moroshan I.** Assotziativnaya vychislitel'naya set' dlya resheniya slozhnyx zadach na baze ustrojstv s ograničennymi vychislitel'nymi resursami. *Proceeding of the 3rd International Conference "Computational Intelligence (Results, Problems and Perspectives)2015", ComInt-2015, May 12-15, 2015, Cherkasy, Ukraine, pp. 48-49.*
- 16. Podubnii M., Ababii V., Sudacevschi V., Safonov G.** Systema mobil'nyx robotov dlya poiska istochnikov ioniziruyushej radiatzii. *Proceeding of the 3rd International Conference "Computational Intelligence (Results, Problems and Perspectives) 2015", ComInt-2015, May 12-15, 2015, Cherkasy, Ukraine, pp. 163-164.*
- 17. Ababii V., Sudacevschi V., Podubnii M., Roshchiupkin O.** Rețea de Senzori cu Arhitectură Reconfigurabilă. *Proceeding of the 5th International Conference "Telecommunications, Electronics and Informatics", ICTEI-2015, may 20-23, 2015, Chișinău, Moldova, pp. 296-299, ISBN 978-9975-45-377-6.*

Recomandat spre publicare: 24.09.2015.